УЛК 534.015.1

## АНАЛИЗ ДЕЙСТВИЯ ВОЗМУЩЕНИЙ ЛИНЕЙНЫХ РЕЗОНАНСНЫХ СИСТЕМ С ДВУМЯ СТЕПЕНЯМИ СВОБОДЫ

© 2021 г. В. Ф. Журавлев<sup>а,\*</sup>, А. Г. Петров<sup>а,\*\*</sup>

<sup>a</sup> Институт проблем механики, РАН им. А.Ю. Ишлинского, Москва, Россия
\* e-mail: zhurav@ipmnet.ru
\*\* e-mail: petrovipmech@gmail.com

Поступила в редакцию 12.03.2020 г. После доработки 14.03.2020 г. Принята к публикации 16.03.2020 г.

Рассматривается система с двумя степенями свободы в случае двухкратной собственной частоты. Невозмущенная система состоит из двух независимых осцилляторов. Координаты системы описывают эллиптическую траекторию с четырьмя элементами орбиты. Проводится анализ действия линейных возмущений (сил) на элементы орбиты. Возмущения подразделяются на шесть типов сил и для каждого типа сил получена система дифференциальных уравнений для элементов орбиты. Для всех шести типов сил найдено общее решение системы дифференциальных уравнений в элементарных функциях.

*Ключевые слова*: резонансные системы, две степени свободы, линейные возмущения, эволюции эллиптической траектории

DOI: 10.31857/S0572329921020185

Координаты системы с двумя степенями свободы в случае двухкратной собственной частоты изменяются по эллиптической траектории [1]. Под действием малых возмущающих сил эллиптическая траектория изменяется. Для описания изменений элементов эллиптической орбиты применяется система дифференциальных уравнений, полученная методом осреднения [2]. Прикладываемые к системе линейные по координатам и скоростям силы подразделяются на шесть типов. Три типа сил, зависящие от координат, называются позиционными силами, остальные три типа сил зависят от скоростей и называются скоростными силами [3, 4]. В [1, 3] показано, что к чистым эволюциям формы колебаний приводят четыре типа сил: силы первого типа приводят только к изменению частоты, второго и третьего типа — только к изменению полуосей эллипса и силы четвертого типа приводят к прецессии эллипса. Эти четыре типа сил удобны для решения задачи управления формой колебаний. Остальные два типа сил приводят сразу ко всем типам эволюции формы и разрушают ее. Разрушение формы для этих типов сил описывается нелинейной системой дифференциальных уравнений четвертого порядка. Данная статья посвящена интегрированию этих систем уравнений. В результате получено описание эволюции форм в элементарных функциях для любых начальных условий.

1. Постановка задачи. Рассмотрим, следуя [1], систему

$$\ddot{q}_i + q_i = \varepsilon Q_i(t, q, \dot{q}), \quad i = 1, 2 \tag{1.1}$$

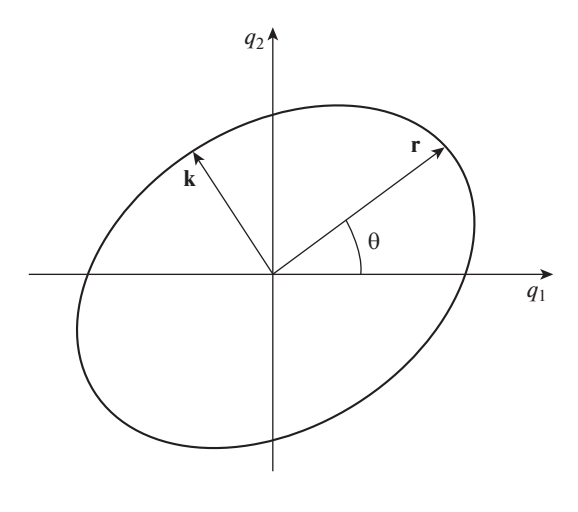


Рис. 1

Если  $\varepsilon = 0$ , то решение этой системы записывается в виде

$$q_{1} = r \cos(t + \tau) \cos \theta - k \sin(t + \tau) \sin \theta$$

$$q_{2} = r \cos(t + \tau) \sin \theta + k \sin(t + \tau) \cos \theta$$

$$p_{1} = \dot{q}_{1} = -r \sin(t + \tau) \cos \theta - k \cos(t + \tau) \sin \theta$$

$$p_{2} = \dot{q}_{2} = -r \sin(t + \tau) \sin \theta + k \cos(t + \tau) \cos \theta$$

$$(1.2)$$

Постоянные интегрирования называются элементами орбиты. Их геометрический смысл ясен из рис. 1 (r и k — полуоси эллиптической траектории, параметр  $\tau$  характеризует положение точки на эллипсе в начальный момент). Если правые части (1.1) ненулевые, то эльементы орбиты становятся функциями времени. Чтобы получить уравнения, описывающие их изменение, нужно сделать в (1.1) замену переменных по формулам (1.2). Это приводит к следующим уравнениям

$$\dot{r} = -\varepsilon (Q_1 \cos \theta + Q_2 \sin \theta) \sin t, \quad \dot{k} = -\varepsilon (Q_1 \sin \theta - Q_2 \cos \theta) \cos t$$

$$\dot{\theta} = \frac{\varepsilon}{r^2 - k^2} \left[ k(Q_1 \cos \theta + Q_2 \sin \theta) \cos t + r(Q_1 \sin \theta - Q_2 \cos \theta) \sin t \right]$$

$$\dot{\tau} = -\frac{\varepsilon}{r^2 - k^2} \left[ r(Q_1 \cos \theta + Q_2 \sin \theta) \cos t + k(Q_1 \sin \theta - Q_2 \cos \theta) \sin t \right]$$

Осредненная по периоду автономная система уравнений для элементов орбиты имеет вид

$$\dot{r} = -\varepsilon (Q_{12}\cos\theta + Q_{22}\sin\theta), \quad \dot{k} = -\varepsilon (Q_{11}\sin\theta - Q_{21}\cos\theta) 
\dot{\theta} = \frac{\varepsilon}{r^2 - k^2} \left[ k(Q_{11}\cos\theta + Q_{21}\sin\theta) + r(Q_{12}\sin\theta - Q_{22}\cos\theta) \right] 
\dot{\tau} = -\frac{\varepsilon}{r^2 - k^2} \left[ r(Q_{11}\cos\theta + Q_{21}\sin\theta) + k(Q_{12}\sin\theta - Q_{22}\cos\theta) \right] 
Q_{11} = \overline{Q_1\cos t}, \quad Q_{12} = \overline{Q_1\sin t}, \quad Q_{21} = \overline{Q_2\cos t}, \quad Q_{22} = \overline{Q_2\sin t}$$
(1.3)

Здесь черта сверху означает знак осреднения по явному вребмени

$$\overline{f} = \frac{1}{2\pi} \int_{0}^{2\pi} f(t)dt$$

Аналогичная система уравнений была получена в [2].

**2. Анализ действия возмущений в линейном случае.** Естественно начать анализ с линейных по координатам  $q_1$ ,  $q_2$  и скоростям  $\dot{q}_1$ ,  $\dot{q}_2$  сил  $Q_1$ ,  $Q_2$ 

$$\begin{pmatrix} Q_1 \\ Q_2 \end{pmatrix} = P \begin{pmatrix} q_1 \\ q_2 \end{pmatrix} + R \begin{pmatrix} \dot{q}_1 \\ \dot{q}_2 \end{pmatrix}$$

Произвольные матрицы позиционных сил P и скоростных сил R единственным образом разлагаются на симметрическую и кососимметрическую части. В свою очередь, симметрические части этих матриц могут быть единственным образом разложены на скалярную матрицу и на матрицу с нулевым следом. В результате получаем для матриц P и R следующие представления:

$$P = C + H + N, \quad R = D + G + \Gamma$$

$$C = \begin{pmatrix} c & 0 \\ 0 & c \end{pmatrix}, \quad H = h \begin{pmatrix} \cos 2\alpha & \sin 2\alpha \\ \sin 2\alpha & -\cos 2\alpha \end{pmatrix}, \quad N = \begin{pmatrix} 0 & n \\ -n & 0 \end{pmatrix}$$

$$D = \begin{pmatrix} d & 0 \\ 0 & d \end{pmatrix}, \quad G = g \begin{pmatrix} \cos 2\beta & \sin 2\beta \\ \sin 2\beta & -\cos 2\beta \end{pmatrix}, \quad \Gamma = \begin{pmatrix} 0 & \gamma \\ -\gamma & 0 \end{pmatrix}$$

Полученные шесть типов сил Q имеют следующие наименования: Cq — потенциальные силы сферического типа; Hq — потенциальные силы гиперболического типа; Nq — в литературе встречается несколько названий для этих сил: циркулярные силы, псевдогироскопические, собственно неконсервативные силы, силы радиальной коррекции;  $D\dot{q}$  — диссипативные силы сферического типа, если d < 0;  $G\dot{q}$  — скоростные силы гиперболического типа;  $\Gamma\dot{q}$  — гироскопические силы. Симметрические матрицы H и G, имеющие нулевой след, называются девиаторами.

Коэффициенты h и g определяют нормы девиаторов гиперболических сил, а углы  $\alpha$  и  $\beta$  ориентацию главных осей жесткости и демпфирования относительно осей  $q_1$  и  $q_2$ .

При подстановке соответствующих сил в уравнения (1.3) и последующего осреднения получим шесть систем уравнений для параметров орбиты.

Рассмотрим более подробно эту процедуру на примере потенциальной силы.

Для невозмущенной системы (1.1) имеем решение (1.2)

$$q_1 = r \cos t \cos \theta - k \sin t \sin \theta$$
,  $q_2 = r \cos t \sin \theta + k \sin t \cos \theta$ 

Находим компоненты потенциальных сил на невозмущенном решении  $Q_1 = cq_1$ ,  $Q_2 = cq_2$  и осредненные по периоду выражения

$$Q_{11} = \frac{1}{2}cr\cos\theta, \qquad Q_{12} = -\frac{1}{2}ck\sin\theta$$
  
 $Q_{21} = \frac{1}{2}cr\sin\theta, \qquad Q_{22} = \frac{1}{2}ck\cos\theta$ 

Подставляя эти выражения в уравнения (1.2), получим следующие осредненные уравнения для элементов орбиты  $\dot{r} = 0$ ,  $\dot{k} = 0$ ,  $\dot{\theta} = 0$ ,  $\dot{\tau} = -(1/2)c\varepsilon$ .

С помощью найденных значений и (1.2) находим решение

$$q_1 = r \cos(1 - (1/2)c\varepsilon)t$$
,  $q_2 = k \sin(1 - (1/2)c\varepsilon)t$ 

Для всех остальных случаев скорости изменений параметров орбиты находятся аналогично. Результаты представлены в таблице.

Из приведенной таблицы следует, что к чистым эволюциям формы колебаний приводят четыре типа сил из шести.

- 1. Потенциальные силы сферического типа Cq приводят только к изменению частоты  $1 \to 1 (1/2)c\varepsilon$ .
  - 2. Циркулярные силы Nq приводят только к изменению осей эллипса

$$r = r_0 \operatorname{ch}(n\varepsilon t/2) - k_0 \operatorname{sh}(n\varepsilon t/2), \quad k = k_0 \operatorname{ch}(n\varepsilon t/2) - r_0 \operatorname{sh}(n\varepsilon t/2)$$

3. Диссипативные (или ускоряющие) силы  $D\dot{q}$  также приводят только к изменению осей эллипса

$$r = r_0 e^{d\varepsilon t/2}, \quad k = k_0 e^{d\varepsilon t/2}$$

4. Гироскопические силы приводят только к прецессии формы колебаний  $\theta = \theta_0 + \theta_0$ 

$$+\frac{1}{2}(k^2-r^2)\gamma\varepsilon t$$

Если возникает задача управления формой колебаний, то именно эти силы и следует выбирать для управления соответствующими эволюциями формы. Все эти результаты приведены в [1].

Гиперболические силы Hq и  $G\dot{q}$  в общем случае приводят сразу ко всем типам эволюции формы. Эти случаи описываются достаточно сложной системой дифференциальных уравнений, но их тоже можно точно проинтегрировать. В этом и состоит цель данного исследования.

**3.** Эволюция системы под действием сил Hq. Систему уравнений под действием Hq можно записать в комплексной форме

$$\dot{r} + i\dot{k} = -\frac{1}{2}i\varepsilon h\sin 2(\theta - \alpha)(r + ik)$$

$$\dot{\theta} = -\frac{1}{2}\varepsilon h\frac{kr}{k^2 - r^2}\cos 2(\theta - \alpha), \quad \dot{\tau} = \frac{1}{2}\varepsilon h\frac{r^2 + k^2}{k^2 - r^2}\cos 2(\theta - \alpha)$$
(3.1)

От переменных  $r, k, \theta$  перейдем к новым переменных  $\rho, \Phi, \Theta$  с помощью замен

$$r + ik = \rho e^{i\Phi/2}$$
,  $\Theta = 2(\theta - \alpha)$ ,  $t' = \varepsilon ht$ .

Отсюда следуют соотношения

$$\frac{d\rho}{dt'} + \frac{1}{2}i\rho\frac{d\Phi}{dt'} = -\frac{1}{2}\rho i\sin\Theta, \quad \text{tg}\Phi = \frac{2rk}{r^2 - k^2}, \quad \frac{r^2 + k^2}{k^2 - r^2} = -\frac{1}{\cos\Phi}$$

с помощью которых система уравнений (4) в новых переменных принимает вид

$$\$\frac{d\rho}{dt'} = 0, \quad \frac{d\Phi}{dt'} = -\sin\Theta, \quad \frac{d\Theta}{dt'} = tg\Phi\cos\Theta, \quad 2\frac{d\tau}{dt'} = -\frac{\cos\Theta}{\cos\Phi}$$
 (3.2)

Система уравнений имеет два интеграла

$$\rho = \sqrt{r_0^2 + k_0^2}, \quad \cos \Phi \cos \Theta = \cos \Phi_0 \cos \Theta_0$$
 (3.3)

где индексом "0" обозначены начальные значения соответствующих переменных. Из соотношений для переменных r, k

$$r^2 + k^2 = r_0^2 + k_0^2$$
,  $r^2 - k^2 = (r_0^2 + k_0^2)\cos\Phi$ ,  $2rk = (r_0^2 + k_0^2)\sin\Phi$ 

выражаем r и k через  $\Phi$ 

$$r = \frac{1}{2}\sqrt{r_0^2 + k_0^2} \left(\sqrt{1 + \sin\Phi} + \sqrt{1 - \sin\Phi}\right)$$

$$k = \frac{1}{2}\sqrt{r_0^2 + k_0^2} \left(\sqrt{1 + \sin\Phi} - \sqrt{1 - \sin\Phi}\right)$$
(3.4)

Зависимость от времени  $\Phi(t')$  можно найти из уравнения  $d^2 \sin \Phi/dt'^2 + \sin \Phi = 0$ , которое получается так. Преобразуем вторую производную  $\sin \Phi$  с помощью уравнений (3.2) и интеграла (3.3).

$$\frac{d^2 \sin \Phi}{dt'^2} = \frac{d}{dt} (\cos \Phi(-\sin \Theta)) = -\cos \Phi_0 \cos \Theta_0 \frac{d}{dt} \operatorname{tg} \Theta = -\frac{\cos \Phi \cos \Theta}{\cos^2 \Theta} \operatorname{tg} \Phi \cos \Theta = -\sin \Phi$$

Решение этого уравнения имеет вид  $\sin \Phi = a \cos t' + b \sin t'$ . Выразив постоянные a и b через начальные данные, получим

$$\sin \Phi = \sin \Phi_0 \cos t' - \cos \Phi_0 \sin \Theta_0 \sin t'$$

$$\sin \Phi_0 = \frac{2r_0k_0}{r_0^2 + k_0^2}, \quad \cos \Phi_0 = \frac{r_0^2 - k_0^2}{r_0^2 + k_0^2}$$
(3.5)

Из уравнения (3.2) для τ с помощью (3.3) найдем

$$\tau = -\frac{1}{2} \int \frac{\cos \Theta_0 \cos \Phi_0}{1 - \sin^2 \Phi} dt''$$

После подстановки выражения (3.5) интеграл вычисляется

$$\tau = -\frac{1}{2} \arctan \left[ \frac{\left(\sin \Phi_0\right)^2 + \left(\cos \Theta_0\right)^2 \left(\cos \Phi_0\right)^2}{\cos \Theta_0 \cos \Phi_0} \operatorname{tg} t' + \sin \Phi_0 \operatorname{tg} \Theta_0 \right]$$
(3.6)

Таким образом, найдены все зависимости от времени  $t' = \varepsilon h t$ : зависимости  $\Phi(t')$  и  $\Phi(t')$  находятся по (3.5) и (3.3) соответственно, зависимости r(t') и k(t') находятся подстановкой (3.5) в (3.4) и зависимость  $\tau(t')$  находится по формуле (3.6).

Функцию  $\tau(t')$  удобно выразить через функцию T(t') так:  $\tau(t') = \frac{1}{2}t'\sigma + T(t')$ , где  $\sigma = \text{sign}[\cos\Theta_0\cos\Phi_0]$ , а функция T(t') имеет период равный  $\pi$ .

Все параметры орбиты претерпевают весьма сложное изменение, но через каждый период повторяются. Для функций r и k период равен  $2\pi/(\epsilon h)$ , а для  $\Theta$  и T период в два раза меньше.

На рис. 2 изображены графики функций T(t')-1, k(t')-2,  $\cos\Theta(t')-3$  при  $\Phi_0=1$ ,  $\Theta_0=0.5$ . Они обозначены цифрами 1, 2 и 3 соответственно.

Отдельно рассмотрим вырожденный случай  $\Theta=\pi/2,\, \tau=\tau_0,\, \Phi=\Phi_0-t',$ 

$$r = \frac{1}{2}\sqrt{r_0^2 + k_0^2} \left( \sqrt{1 + \sin(\Phi_0 - t')} + \sqrt{1 - \sin(\Phi_0 - t')} \right)$$
$$k = \frac{1}{2}\sqrt{r_0^2 + k_0^2} \left( \sqrt{1 + \sin(\Phi_0 - t')} - \sqrt{1 - \sin(\Phi_0 - t')} \right)$$

Начальное значение  $\Phi_0$  находится из уравнений  $\cos\Phi_0 = \frac{r_0}{\sqrt{r_0^2 + k_0^2}}, \sin\Phi_0 = \frac{k_0}{\sqrt{r_0^2 + k_0^2}}$ 

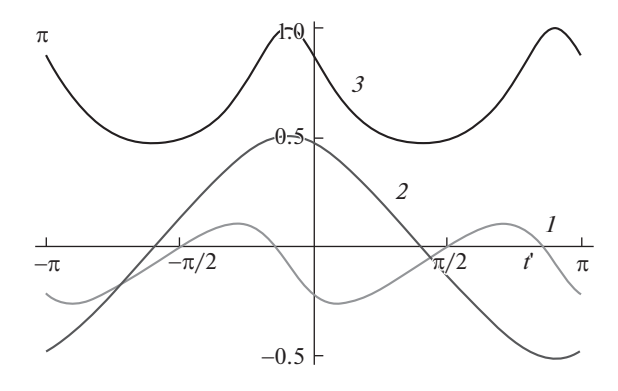


Рис. 2

**4.** Эволюция системы под действием сил  $G\dot{q}$ . Систему уравнений можно записать в комплексной форме

$$\dot{r} + i\dot{k} = \frac{1}{2}\varepsilon g\cos 2(\theta - \beta)(r - ik)$$

$$\dot{\theta} = \frac{1}{2}\varepsilon g \frac{r^2 + k^2}{k^2 - r^2}\sin 2(\theta - \beta), \quad \dot{\tau} = -\varepsilon g \frac{rk}{k^2 - r^2}\sin 2(\theta - \beta)$$
(4.1)

От переменных  $r, k, \theta$  перейдем к новым переменным  $\rho, \Phi, \Theta$  с помощью замен

$$r + ik = \rho e^{i\Phi/2}, \quad \Theta = 2(\theta - \beta), \quad t' = \varepsilon gt$$
 (4.2)

Отсюда следуют соотношения

$$\frac{d\rho}{dt'} + \frac{1}{2}i\rho\frac{d\Phi}{dt'} = \frac{1}{2}\rho\cos\Theta e^{-i\Phi}$$

$$\operatorname{tg}\Phi = \frac{2rk}{r^2 - k^2}, \quad \frac{r^2 + k^2}{r^2 - k^2} = \frac{1}{\cos\Phi}$$

$$r = \rho\cos(\Phi/2), \quad k = \rho\sin(\Phi/2) \tag{4.3}$$

с помощью которых система уравнений (3.1) в новых переменных принимает вид

$$\frac{d\rho}{dt'} = \frac{1}{2}\rho\cos\Theta\cos\Phi, \quad \frac{d\Phi}{dt'} = -\cos\Theta\sin\Phi$$

$$\frac{d\Theta}{dt'} = -\frac{\sin\Theta}{\cos\Phi}, \quad 2\frac{d\tau}{dt'} = \sin\Theta tg\Phi$$

$$\frac{dr}{dt'} = \frac{1}{2}r\cos\Theta, \quad \frac{dk}{dt'} = -\frac{1}{2}k\cos\Theta$$
(4.4)

Безразмерное время t' меняется в пределах  $(0, \infty)$  при g > 0 и  $(0, -\infty)$  при g < 0.

Система уравнений (4.4) имеет интегралы

$$rk = r_0 k_0 \Rightarrow \rho^2 \sin \Phi = \rho_0^2 \sin \Phi_0, \quad \sin \Theta \cot \Phi = \sin \Theta_0 \cot \Phi_0$$
 (4.5)

где индексом "0" обозначены начальные значения соответствующих функций.

С помощью последнего интеграла можно в уравнении для  $\Phi$  исключить  $\Theta$ 

$$\frac{d\sin\Phi}{dt'} = -\sin\Phi\cos\Phi\cos\Theta = -\sigma\sin\Phi\sqrt{1 - s^2\sin^2\Phi}$$
$$s = \sqrt{1 + (\sin\Theta_0 \cot\Phi_0)^2}, \quad \sigma = \text{sign}(\cos\Phi_0\cos\Theta_0)$$

Общее решение этого уравнения

$$\sin \Phi = \pm (\operatorname{sch}(t' \pm t_0))^{-1} \tag{4.6}$$

Из начального условия получаем уравнение  $\sin \Phi_0 = (s \operatorname{ch} (\sigma t_0))^{-1}$ . Из него находится положительное значение постоянной  $t_0$ . Знаки в решении (4.6) выбираются так. Первый знак должен совпадать со знаком  $\sin \Phi_0$ . Знак при  $t_0$  положителен, если производная функции  $(\sin \Phi(t'))^2$  при t' = 0 отрицательна, в противном случае знак отрицательный. Знак производной функции  $(\sin \Phi(t'))^2$  совпадает со знаком числа  $-\cos \Phi_0 \cos \Theta_0$ . С учетом выбора знаков решение (4.6) можно представить в виде

$$\sin \Phi = \operatorname{sign}(\sin \Phi_0) \left[ s \operatorname{ch}(t' + \operatorname{sign}(\cos \Phi_0 \cos \Theta_0) t_0) \right]^{-1}$$
(4.7)

Если знак sign( $\cos \Phi_0 \cos \Theta_0$ ) = -1 отрицателен и g > 0, то все функции меняются не монотонно, достигая следующих максимальных значений в точке  $t = t_0$ 

$$\sin \Phi(t_0) = 1/s, \quad \sin \Theta_0 = 1,$$

$$r(t_0) = \sqrt{\frac{r_0 k_0}{s + \sqrt{s^2 - 1}}}, \quad 2\tau'(t_0) = \frac{\operatorname{sign}(\sin \Theta_0 \operatorname{ctg} \Phi_0)}{\sqrt{s^2 - 1}}$$
(4.8)

Через функцию  $\sin \Phi$  выражаются все элементы орбиты. Из интегралов (4.5) находим

$$\rho = \rho_0 \sqrt{\sin \Phi_0 / \sin \Phi}$$
,  $\sin \Theta = \sin \Theta_0 \cot \Phi_0 \cot \Phi$ 

Переменные r и k находим из (4.3)

$$k = \sqrt{r_0 k_0 |\text{tg}(\Phi/2)|}, \quad r = \sqrt{r_0 k_0 |\text{ctg}(\Phi/2)|}$$

которые можно выразить через функцию времени  $\sin \Phi$ , определяемой по (4.7)

$$k = \sqrt{\frac{r_0 k_0 |\sin \Phi|}{1 + \cos \Phi}} = \sqrt{\frac{r_0 k_0 |\sin \Phi|}{1 - \cos \Phi}}$$
$$r = \sqrt{\frac{r_0 k_0 (1 - \cos \Phi)}{|\sin \Phi|}} = \sqrt{\frac{r_0 k_0 (1 + \cos \Phi)}{|\sin \Phi|}}$$

Из этого решения следует, что площадь эллиптической орбиты сохраняется, эллипс вытягивается в бесконечную прямую, а угол наклона к оси x большей полуоси эллиптической орбиты r стремится к нулю.

Уравнение для τ также интегрируется, откуда находится

$$2\tau = \frac{\operatorname{tg}\Phi_0}{\sin\Theta_0} \operatorname{arctg} \left( \frac{\operatorname{tg}\Phi_0}{\sin\Theta_0} \operatorname{th}(t' \pm t_0) \right)$$

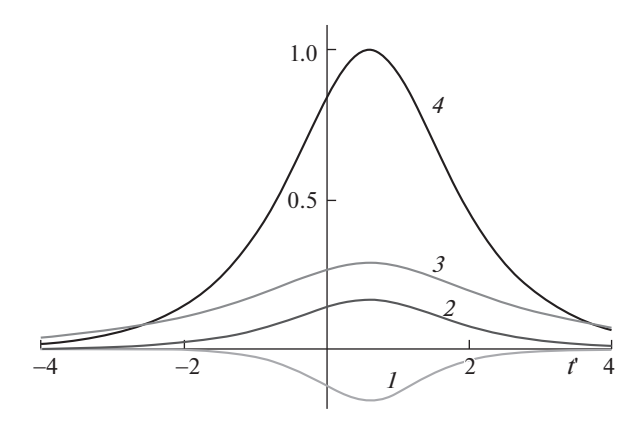


Рис. 3

На рис. 3 представлены графики зависимостей

$$2\tau'(t') = \sin \Theta(t') \operatorname{tg} \Phi(t'), \quad k(t'), \quad \sin \Theta(t'), \quad \sin \Phi(t')$$

при значениях параметров  $\Theta_0=1,\,\Phi_0=3.$  Они помечены цифрами 1, 2, 3, 4 соответственно.

При g > 0 функции меняются на отрезке (0, ∞), а при g < 0 — на отрезке (0, −∞).

При  $t = t_0 = 0.597$  они достигают экстремума.

Экстремальные значения, вычисленные по формулам (18) таковы

$$\sin \Phi(t_0) = 0.167$$
,  $\sin \Theta_0 = 1$ ,  $r(t_0) = 0.29$ ,  $2\tau'(t_0) = -0.169$ 

Как при положительном так и при отрицательном значениях g при  $t \to \infty$  полуоси эллипса стремятся принять направления декартовых осей  $q_1$  и  $q_2$ , одна из осей стремится к нулю, а вторая растет до бесконечности. Площадь эллипса при этом сохраняется.

- 5. Заключение. К чистым эволюциям формы колебаний приводят четыре типа сил.
- 1. Потенциальные силы сферического типа Cq приводят только к изменению частоты  $1 \to 1 (1/2)c\varepsilon$ .
  - 2. Циркулярные силы Nq приводят только к изменению осей эллипса

$$r = r_0 \operatorname{ch}(n\varepsilon t/2) - k_0 \operatorname{sh}(n\varepsilon t/2), \quad k = k_0 \operatorname{ch}(n\varepsilon t/2) - r_0 \operatorname{sh}(n\varepsilon t/2)$$

3. Диссипативные (или ускоряющие) силы  $D\dot{q}$  также приводят только к изменению осей эллипса

$$r = r_0 e^{d\varepsilon t/2}, \quad k = k_0 e^{d\varepsilon t/2}$$

4. Гироскопические силы приводят только к прецессии формы колебаний  $\theta = \theta_0 + \frac{1}{2}(k^2 - r^2)\gamma \epsilon t$ .

Если возникает задача управления формой колебаний, то именно эти силы и следует выбирать для управления соответствующими эволюциями формы. Все эти результаты приведены в [1, 3, 4].

Гиперболические силы Hq и  $G\dot{q}$  в общем случае описываются достаточно сложной нелинейной системой дифференциальных уравнений. Решение их в общем случае представлено в элементарных функциях. Для сил Hq функция  $\sin \Phi$  меняется по гармоническому закону и через нее выражены все элементы орбиты: полуоси эллипса по

$T_{\alpha}$	5 <i>-</i>	. 1
1 a	блица	Į J

	Cq	Hq	Nq	Dġ	Gġ	Γġ
ŕ	0	$\frac{1}{2}hk\varepsilon\sin(2(\theta-\alpha))$	$-\frac{kn\varepsilon}{2}$	$\frac{dr\epsilon}{2}$	$\frac{1}{2}gr\varepsilon\cos(2(\theta-\beta))$	0
k	0	$-\frac{1}{2}hr\varepsilon\sin(2(\theta-\alpha))$	$-\frac{rn\varepsilon}{2}$	$\frac{dk\varepsilon}{2}$	$-\frac{1}{2}gk\varepsilon\cos(2(\theta-\beta))$	0
θ	0	$-hkr\varepsilon\frac{\cos(2(\theta-\alpha))}{k^2-r^2}$	0	0	$\frac{1}{2}g\varepsilon\frac{k^2+r^2}{k^2-r^2}\sin(2(\theta-\beta))$	$-\frac{1}{2}\gamma\epsilon$
τ	$-\frac{1}{2}c\varepsilon$	$\frac{1}{2}h\varepsilon\frac{r^2+k^2}{k^2-r^2}\cos(2(\theta-\alpha))$	0	0	$-\frac{gkr}{k^2-r^2}\varepsilon\sin(2(\theta-\beta))$	0

формулам (3.4), его площадь меняется по гармоническому закону  $2rk = (r_0^2 + k_0^2)\sin\Phi$ , угол прецессии  $\theta$  выражается через функцию  $\Phi$  по формулам  $\Theta = 2(\theta - \alpha)$ ,  $\cos\Phi\cos\Theta = \cos\Phi_0\cos\Theta_0$ . Все элементы орбиты меняются по периодическому закону с периодом  $2\pi/(\varepsilon h)$ .

Из решения задачи о движении системы под действием силы Gq следует, что площадь эллиптической орбиты сохраняется, эллипс вытягивается в бесконечную прямую, а угол наклона к оси q большей полуоси эллиптической орбиты r стремится к нулю.

Работа выполнена в рамках госзадания (номер госрегистрации АААА-А20-120011690138-6).

## СПИСОК ЛИТЕРАТУРЫ

- 1. *Журавлев В.Ф.* Управляемый маятник Фуко как модель одного класса свободных гироско-пов// МТТ. 1997. Вып 6. С. 27—35.
- 2. *Friedland B.*, *Hulton M.F.* Theory and error analysis of vibrating-member gyroscope // IEEE Trans. on Autom. Contr. 1978. V. 23. № 4. P. 545–556.
- 3. *Климов Д.М., Журавлев В.Ф., Жбанов Ю.К.* Кварцевый полусферический резонатор (Волновой твердотельный гироскоп). М.: Изд-во "Ким Л.А." 2017. 194 с.
- 4. *Журавлев В.Ф., Петров А.Г., Шундерюк М.М.* Избранные задачи гамильтоновой механики. М.: ЛЕНАНД, 2015. 304 с.